

Казначеев В. П., Трофимов А. В.

**ДИСТАНТНО-ИНФОРМАЦИОННЫЕ ВЗАИМОДЕЙСТВИЯ
В «ПРОСТРАНСТВЕ КОЗЫРЕВА»**

Космопланетарная антропоэкология: фактический и аналитический материал

(Продолжение. Начало в № 4/05, 1–3/06)

*Международный НИИ космической антропоэкологии (МНИИКА)
630117, Россия, г. Новосибирск, ул. Акад. Тимакова, 2*

Описаны психофизиологические исследования восприятия людьми голограмм, содержащих информацию о космических объектах: о галактиках с различными характеристиками и о культурно-исторических памятниках различных цивилизаций и эпох. Испытаны также голограммы с информацией функционально-регуляторного характера. Степень палеоинформационной чувствительности современного человека, мера раскрытия его «палеопамяти» оценивались по динамике восприятия времени, изменениям хронотропного режима сердца, электрической активности головного мозга, светопоглощения кожи, параметров газоразрядной визуализации, а также по эффективности дистантно-информационных коммуникаций между людьми и взаимодействиями с «клеточными цивилизациями».

Ключевые слова: палеопамять человека, «пространство Козырева», дистантно-информационные коммуникации между людьми, информационные сигналы, психофизиологическое тестирование, асимметрия полушарий головного мозга, внутреннее восприятие времени.

В этом цикле работ палеопсихологический горизонт информационного поля Земли был представлен одним из образцов шумерской культуры — глиняной табличкой, изготовленной 4250 лет назад и содержащей клинописные долговые обязательства шумерскому кредитору. Мы предполагали, что через конкретные смысловые поля, запечатленные в глине, удастся выйти на «мимы» и космогонические мифы этой культуры, а возможно, и следы внеземной цивилизации.

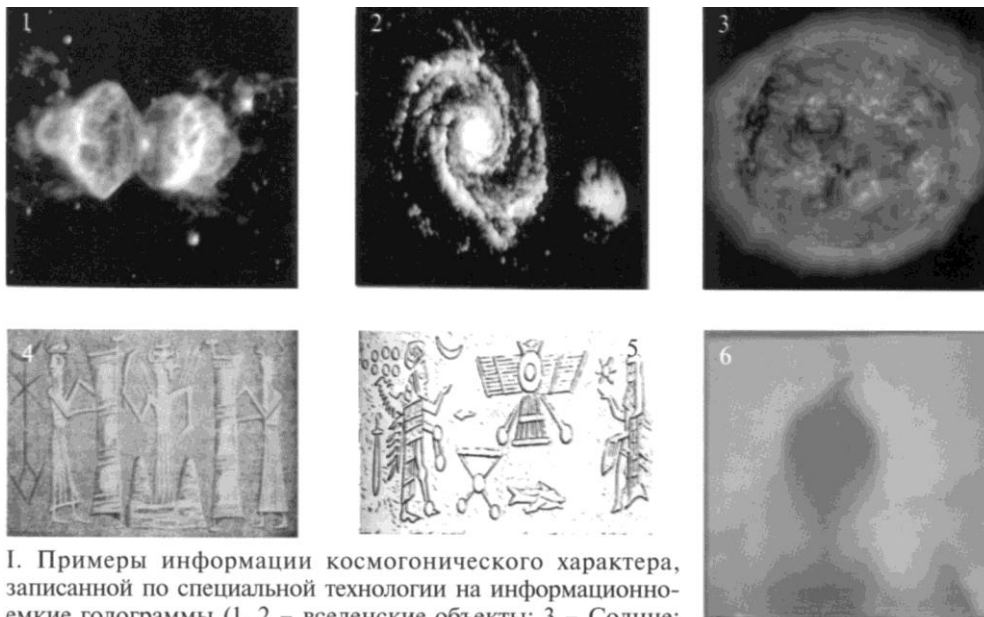
Шумеры делали записи на глиняных табличках, а иллюстрации — на цилиндрических печатях. На месте руин шумерских городов археологи в ходе полуторавековых раскопок обнаружили тысячи текстов и иллюстраций, относящихся к астрономии и космогонии. Обнаружены шумерские тексты, описывающие происхождение, развитие строение Солнечной системы, включая список планет, вращающихся вокруг Солнца, их взаимное расположение и характеристики, а также сотворение человека на Земле представителями иных миров — анунаками. Приводим фрагменты одного из подобных текстов:

Они вызвали богиню, повивалку богов
И мудрую акушерку [и обратились к ней со словами]:
«Дай жизнь новому существу, создай рабочих!
Сотвори Примитивного Рабочего,
Который сможет тащить это ярмо!
Пусть он исполняет его по поручению Энлила.
Пусть этот Рабочий продолжит работу богов!»

От основания Земли,
Что чуть вверх (на север) от Абзу,
И приспособь его в формочку с сутью.
Я предоставлю хорошую, много знающую юную анунаки,
Которая доведет глину (яйцо) до нужного состояния.

Судьбу новорожденного изречешь ты...
Нинки воплотит в нем образ богов,
И то, чем он станет, будет «Человек».

В приведенных шумерских текстах, по мнению Ю. В. Селенка [9], описывается процесс генетического конструирования человека по вземным технологиям.



I. Примеры информации космогонического характера, записанной по специальной технологии на информационно-емкие голограммы (1, 2 – вселенские объекты; 3 – Солнце; 4, 5 – шумерские рисунки; 6 – кинокадр энергоинформационного события в “зеркала Козырева”).



II. Примеры информации культурно-исторического характера, записанной на голограммы (1 – 4 – фото-изображения исторических памятников; 5 – подлинный объект – шумерская табличка).

Фото 1.

Подлинная глиняная шумерская табличка (фото 1) как возможный носитель космогонической информации предьявлялась испытуемым ($n = 38$) в процессе раскрытия их космофильных резервов в преформированном космофизическом пространстве, в условиях геомагнитной депривации (фото 2). Палеоинформационный тест проводился в «прямом и «опосредованном» (голографическом) вариантах.

Степень палеоинформационной чувствительности современного человека, мера раскрытия его «палеопамяти» оценивались по динамике восприятия времени, изменениям хронотропного режима сердца, электрической активности головного мозга, светопоглощения кожи, параметров газоразрядной визуализации, а также по эффективности дистантно-

информационных (интеллектуальных, «первично-полевых») коммуникаций между людьми и взаимодействий с «клеточными цивилизациями».

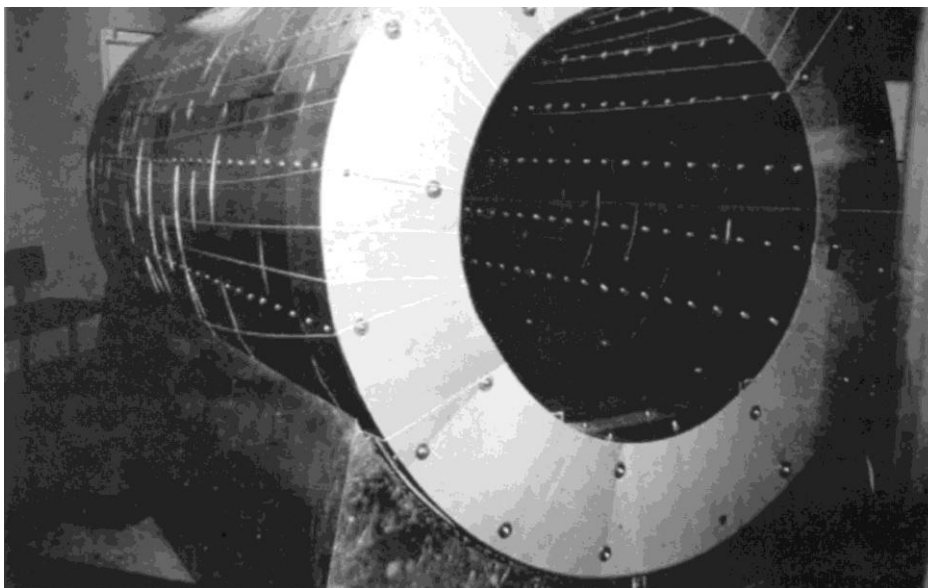


Фото 2. Гипогеомагнитная установка, ослабляющая магнитное поле Земли в 600 раз.

1. Внутреннее восприятие времени как маркер приема информационно-значимых сигналов на палеопсихологическом горизонте

Разработаны и испытаны при психофизиологическом тестировании голограммы (приоритет от 05.05.2003 по заявке № 2003113265/(013980)), содержащие информацию о вселенских объектах (фото 1): галактиках с различными космофизическими характеристиками и культурно-исторических памятниках различных земных цивилизаций и эпох; а также энциклопедическую и художественную информацию за несколько веков.

Были испытаны и голограммы с информацией функционально-регуляторного характера (синхронизация дыхания, двигательная активность различных мышечных групп и т. д.), а также регуляторно-генетической информацией, определяющей стратегию и тактику поведения и мотиваций организма (агрессивность, выносливость и т. д.).

Эффективность восприятия информационных сигналов, «записанных» на голограммах, определялась различными методами. Особо важной представлялась динамика взаимодействия человека с «хрональными полями».

Материалы и методы. Субъективная оценка времени проводилась с использованием оригинального двухканального устройства для теппинг-тестирования с компьютерной регистрацией (пат. РФ № 2161908).

Регистрация временных интервалов осуществлялась одновременно двумя руками. Задача для испытуемого была запустить электронный секундомер, отсчитать про себя 60 с (1-минутный интервал) и выключить его. После 2-минутной паузы проводилась повторная регистрация «индивидуальной минуты» на фоне предъявления информационного сигнала голограммы.

Динамика функциональной асимметрии полушарий при информационных нагрузках оценивалась по абсолютной разнице в миллисекундах значений временных интервалов, регистрируемых левой и правой рукой — по показателю флюктуирующей функциональной асимметрии (ФлФА).

Результаты. При проверке нормальности распределения анализируемых параметров выявлено, что показатели длительности временных интервалов подчинялись закону нормального распределения, а показатели изменчивости интервалов (стандартное отклонение) не всегда имели нормальное распределение. В случаях отклонения от нормального распределения использовались непараметрические критерии.

Оценивались различия между показателями при информационной нагрузке и фоновых

замерах.

Результаты, полученные канд. мед. наук А. Г. Горелкиным, приводятся в табл. 5, 6.

Таблица 5. Длительность индивидуальной минуты (M + Sd) при информационных голографических нагрузках на различных этапах исследования

№ теста	Левая кисть			Правая кисть			ФлФА		
	Фон	Нагрузка	p-level	Фон	Нагрузка	p-level	Фон	Нагрузка	p-level
1	64.11			64.11			0.012		
n = 33	5.252			5.252			0.008		
2	66.60	66.76	0.600	66.59	66.76	0.600	0.011	0.018	0.003
n = 30	9.087	8.615		9.087	8.620		0.009	0.014	
3	63.08	65.82	0.007	63.08	65.81	0.007	0.013	0.013	0.922
n = 29	6.722	6.567		6.723	6.565		0.011	0.010	
4	61.56	63.95	0.006	61.44	63.94	0.011	0.014	0.016	0.808
n = 33	4.865	6.647		4.893	6.648		0.010	0.016	

Примечание: p-level — достоверность различий по Wilcoxon Matched Pairs Test.

Таким образом, информационные голографические нагрузки вызывают достоверный отклик, либо изменяя показатель ФлФА (проба с невизуализированной голограммой; тест 2), либо увеличивая длительность индивидуальной минуты (пробы с визуализированной голограммой; тесты 3 и 4, табл. 5).

По относительному изменению показателей эти два вида нагрузки достоверно различаются по длительности «индивидуальной минуты» (табл. 6). Подтверждением этому служит и

Таблица 6. Изменение длительности индивидуальной минуты относительно фона (в %) и абсолютной разницы ФлФА (в мс) при информационных голографических нагрузках на различных этапах исследования (M + Sd)

№ теста	Левая кисть	Правая кисть	ФлФА
1	100.98	100.98	0.010
n = 30	11.237	11.251	0.009
2	104.72	104.72	0.010
n = 29	8.698	8.706	0.008
3	103.96	103.54	0.010
n = 33	8.364	8.147	0.013
Уровень достоверности различий			
1–2	0.046	0.049	0.683
1–3	0.147	0.214	0.417
2–3	0.804	0.964	0.608

Примечание: p-level — достоверность различий по Wilcoxon Matched Pairs Test.

отсутствие значимых различий между двумя повторами пробы с визуализированной голограммой (тесты 3 и 4, табл. 6), т. е. проба со второй информационной нагрузкой (визуализированный, но эмоционально не окрашенный голографический образ: информационный кремниевый носитель в пластиковой пробирке) достаточно воспроизводима.

Представляется важным, что технологической особенностью подготовки «носителя», так же как и введения «обучающей» энциклопедической информации, была многочасовая экспозиция в сфокусированном пространстве алюминиевых зеркал (в «пространстве Козырева», т. е. в экранах, «уплотняющих энергию-время») [8].

Таким образом, на внутреннее восприятие Человеком времени влияет информационно-голографический сигнал, опосредованно представляющий пространство «уплотненной энергии-времени».

Индивидуальная оценка испытуемыми времени оказывается значимо зависимой ($p < 0,05$) от гелиогеофизической

среды в их раннем онтогенезе, что проявляется, начиная с 3-го сеанса воздействий преформированной геомагнитной среды в условиях развития космобиофизических резервов организма, очевидно, открывающих доступ в «пространство Козырева» с иными пространственно-временными координатами.

2. Хронотропный режим сердца как индикатор информационно-голографических воздействий на палеопсихопогическом горизонте

С целью изучения эффектов информационных воздействий в условиях «космобиотрона» в динамике курса геомагнитного экранирования (ГМЭ) и трансформации геомагнитного наклона (ТГМН) по параметрам variability ритма сердца (ВРС) у практически здоровых молодых мужчин, испытуемых-добровольцев, решались следующие задачи:

1. Оценить эффекты различных видов информационных сигналов по специфике изменений ВРС.
2. Изучить особенности ВРС при различных видах информационных сигналов в динамике курсового ГМЭ и ТГМН.
3. Выявить факторы, определяющие чувствительность человека к различным видам информационных сигналов.

Материалы и методы. В программе исследований по техническому заданию МНИИКА приняли участие 40 мужчин, из числа спортсменов различной специализации и квалификации. В окончательную обработку были включены результаты обследования 33 испытуемых.

До начала работ испытуемые случайным образом были разделены на две группы. Одна проходила курс из 10 сеансов геомагнитного экранирования (ГМЭ), другая — аналогичный по схеме курс в установке, трансформирующей геомагнитное наклонение.

Исследователь, проводивший регистрацию ЭКГ и последующий анализ параметров ВРС, оперировал только кодами групп (1 или 2) и не был информирован о специфике курса в первой и второй группе. Группа 1 (G1) состояла из 19 испытуемых, группа 2 (G2) — из 14.

Регистрация кардиоритма проводилась с использованием прибора «Ней-рон-спектр-3» и компьютерной программы анализа ВРС «Поли-Спектр-Ритм» (фирмы «Нейрософт», Россия, г. Иваново). Длительность записи ЭКГ составляла 330 кардиоциклов (RR-интервалов). Положение испытуемого во время регистрации ЭКГ сидя в кресле на протяжении всего исследования не изменялось. Фоновая запись проводилась после 5–7-минутного отдыха, запись с «информационным сигналом» — через 1 мин после первого (фонового) измерения. Исходные кривые редактировались, при расчете показателей экстрасистолы исключались.

Оценивались *статистические характеристики* кардиоритма (длительность RR-интервалов): среднее (RRNN), среднеквадратичное отклонение (SDNN), коэффициент вариации (CV), мода (Mo), медиана (Me). Анализировалась *волновая структура* кардиоритма (спектральный анализ): общая мощность спектра (TP), очень низкочастотные колебания (VLF), низкочастотные колебаний (LF), высокочастотные колебания (HF), их процентное выражение (%VLF, %LF, %HF), соотношение (LF/HF) и ряд др. Проводилась *вариационная пульсометрия* по Р. М. Баевскому: определялись вариационный размах (ВР), амплитуда моды (АМо), индекс вегетативного равновесия (ИВР), вегетативный показатель ритма (ВПР), индекс напряжения регуляторных систем (ИН), показатель адекватности процессов регуляции (ПАПР).

Для передачи «информационного сигнала» использовались три вида носителей «информационного» сигнала (фото 1):

1. «камень» (подлинная шумерская глиняная табличка);
2. голограмма «камня»;
3. контрольная и «информационная» голограммы интеллектуально-креативного характера.

Исследование кардиоритма проводилось пятикратно на протяжении курса ГМЭ и ТГМН (табл. 7).

Статистическая обработка данных

Анализ нормальности распределения в выборках проводился с использованием показателей асимметрии и эксцесса, критерия Колмогорова–Смирнова, критерия Шапиро–Уилки.

Равенство генеральных дисперсий оценивалось по критерию Фишера.

Значимость различий средних значений оценивалась применением дисперсионного анализа (ANOVA) и критерия Стьюдента (при нормальном распределении), критериев Уилкоксона, Манна–Уитни, Колмогорова–Смирнова.

Множественные сравнения проводились с помощью дисперсионного анализа (MANOVA), непараметрического критерия Фридмана.

Результаты. Общий характер изменений показателей ВРС при предъявлении инфор-

мационных нагрузок на протяжении курса представлен на рис. 49.

По полученным данным [3], на третьем этапе исследований можно говорить о влиянии неизвестного фактора на организм испытуемых. Неизвестным фактором являлся для исследователя ВРС и испытуемых (двойной «слепой» метод). Этим неизвестным фактором могла быть голографически предъявляемая испытуемым информация (энциклопедические знания, галерея всемирной живописи) (фото 1), по особой технологии инициированная, сконцентрированная и записанная на информационно-емкую голограмму.

При предъявлении «плацебо камня» (K1) в объединенной группе испытуемых (21 чел.) по ряду показателей выявлялись значимые различия. В пробе с «информационным камнем» (K2) при сохранении общего вектора изменений показатели ВРС отличались от фона более высоким уровнем достоверности. В то же время различий между показателями первой и второй проб не наблюдалось.

Таблица 7. Этапы исследования информационной чувствительности методом ВРС

Этап	Последовательность сеансов ГМЭ и ТГМН	Дата исследования	Вид носителя «информационного» сигнала
1	Исходно до начала курса или после однократного тестового сеанса	18.09.03, 1–2.10.03, 18.10.03	«Камень» (шумерская глиняная табличка)
2	После 2–4 сеансов	29–30.10.03	Голограмма «камня»
3	После 4–6 сеансов	26–27.11.03	Контрольная и информационная голограммы
4	После 6–8 сеансов	10–11.12.03	Контрольная и информационная голограммы
5	После 8–10 сеансов	24–25.12.03	«Камень»

В пробах с предметными информационными нагрузками (шумерская табличка) достаточно устойчиво воспроизводились изменения показателей длительности кардиоинтервалов и высокочастотного спектра ВРС.

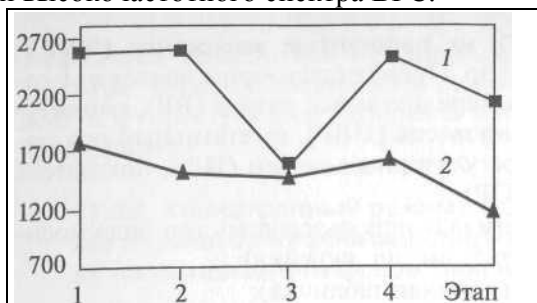


Рис. 1. Динамика низкочастотного спектра кардиоритма (LF) при информационных воздействиях в группах 1 и 2 [3].

При анализе проб с голографическими информационными носителями не выявлены специфические изменения, обусловленные различными информационными сигналами (голограмма шумерского «камня» и «интеллектуально-креативная» голограмма). В то же время выявлялись значимые особенности в пробах на различных этапах воздействия преформированной космофизической среды в различных группах, что свидетельствует о зависимости реакций от комплекса внешних факторов, определяемых моделированным пространством. Допуская наличие дистантной информационной трансляции, можно предположить, что ее эффективность также зависит от преформированных гелиогеофизических факторов.

Был проведен корреляционный анализ суммарной изменчивости между различными пробами (табл. 8). Из табл. 8 следует, что изменения в пробах с шумерским «камнем» до курса хорошо коррелируют с аналогичной пробой после курса ($КК = 0.47$). Такой же коэффициент корреляции ($КК$) между пробами с двумя контрольными «камнями» (не содержащими информации), проведенными через 2 мес после окончания курса. Отсутствие корреляций этих проб с пробами при предъявлении информационных «камней» (шумерской таблички до и после курса) подтверждает различия между ними.

Особенностью была смена знака корреляции в пробах с «камнями» (шумерская табличка) и их голограммами. Возможно, что у части испытуемых проявилась закономерность: чем выше чувствительность в пробах с «камнем», тем ниже чувствительность к информационным голограммам, и наоборот. Очевидна специфичность в реакциях на два вида носителей

информационного сигнала. Важно и то, что после курса в экранированном пространстве информационная чувствительность организма человека существенно изменилась: в большинстве случаев — возросла.

Таблица 8. Корреляционная зависимость между степенью изменения показателей ВРС при предъявлении испытуемым информационных голограмм на различных этапах курса преформированных воздействий

Информационные тесты		Коэффициент корреляции
«Камень» до курса	«Камень» после курса	0.47
	Голограмма «камня»	0.07
	Информационная голограмма на 6-м сеансе	-0.14
	Информационная голограмма на 8-м сеансе	-0.04
	«Камень» К1 (контроль)	0.08
	«Камень» К2	0.02
	К2 относительно К1	0.15
«Камень» после курса	«Камень» К2	0.06
«Камень» К1 (февраль)	«Камень» К2	0.49
Голограмма на 6-м сеансе	Голограмма на 8-м сеансе	0.03
«Камни» (суммарно)	Голограммы суммарно	-0.16

Таким образом, частотный кардиоспектр может быть индикатором информационной чувствительности организма, которая претерпевает существенные изменения в ходе курсов преформированных гелиогеофизических воздействий, возможно, возвращающих «палеопамять» об информационных потоках, отдаленных от современного человека на десятки веков, а, быть может, и более. Моделирование величин индукции и наклона ГМП в пределах, характерных для различных эпох и цивилизаций, может быть важным элементом принципиально новой технологии направленных изменений информационной чувствительности человека к важнейшим регуляторно-гармонизирующим элементам интеллектуальной голограммы Вселенной.

3. Динамика информационной чувствительности человека в моделированном пространстве, оцениваемая методами газоразрядной визуализации, фотосканирования и электроэнцефалографии

С использованием ковариационного анализа [1] нами установлено, что в конце курса преформированных космофизических воздействий в момент предъявления испытуемым информационных голограмм проявляются значимые комбинации факторов, определяемые спецификой функциональной и профессиональной активности, индивидуальным частотным спектром газоразрядной визуализации (ГРВ) и пренатальной гелиогеофизической средой: уровнем геомагнитной индукции и солнечной активности. Характерно, что в условиях воздействия информационных голограмм проявляется связь с космофизической обстановкой различных пренатальных этапов. Например, при предъявлении голограммы Г2 (фото 1) отмечается большое количество значимых ковариационных комбинаций: цвет глаз, частотный спектр ГРВ, геомагнитная индукция в 1-м триместре внутриутробной Жизни. Метод ГРВ-видео может быть использован при оценке информационной значимости для организма человека различных информационных нагрузок.

После трех «погружений» в преформированное пространство до предъявления информационных голограмм связь параметров ГРВ с уровнем геомагнитной индукции пренатального развития отмечена не была. В процессе предъявления испытуемым информационно-голографического воздействия проявились значимые комбинации спектральных параметров ГРВ с геомагнитной индукцией в 1-й месяц после рождения, в период интенсивного развития головного мозга, с величинами геомагнитной индукции в периоды «преконси-винга», а также во 2-й и 5-й пренатальные месяцы преимущественно у группы, проходившей испытания в ги-

погеомагнитной среде.

В ходе дальнейшего увеличения числа сеансов преформированных воздействий при фоновом обследовании значимых комбинаций не выявлено, а при предъявлении испытуемым информационно-голографического пакета К2 (информация о потоках «энергии-времени»), моделируемых «световодно-ла-зерными» устройствами, отмечены значимые комбинации параметров ГРВ в широком диапазоне частот (1.0-1.3; 4.0; 4.7; 7.7-7.8 Гц) с гелиогеофизическими факторами 3-го месяца внутриутробного развития. В условиях воздействия информационного пакета К3 проявились значимые комбинации параметров ГРВ (2.1-2.3; 8.4-8.5 Гц) с геофизическими факторами 8-го месяца внутриутробного развития, периода интенсивной дифференцировки отделов и функций головного мозга.

При тестировании испытуемых с использованием информационно-голографического пакета ВЗ (фото 1, II) выявлены иные значимые комбинации: характерно проявление зависимости Кирилан-феномена от геомагнитной индукции в период зачатия организма испытуемых, причем, в отличие от пакетов К2 и К3, эта зависимость положительная.

При предъявлении информационного пакета К1 (после экспозиции носителей в «зеркала Козырева») также проявляются положительные ковариационные комбинации ГРВ параметров (в диапазоне 2.1-2.6 Гц) и уровней солнечной активности и отрицательные ковариации ГРВ частот 2.6 и 7.0 Гц и радиоизлучения Солнца на частоте 202 МГц на даты зачатия и рождения.

Таким образом, качество информации определяет своеобразие ковариационных зависимостей полевой структуры организма от космофизической обстановки в периоды гаметоэмбриогенеза.

При взаимодействии с информационным пакетом К2 вектор ковариации у испытуемых группы 1 отрицательный, а в группе 2 с геомагнитной депривацией — положительный.

При предъявлении другого информационного пакета ГК1 (контроль без информации; фото 1, III, после экспозиции носителей в «зеркала Козырева») количество значимых комбинаций оказывается столь же большим, что и при воздействии информации II, но в гораздо большем диапазоне частот ГРВ (от 0,1 до 11,2 Гц). Как и при тестировании пакетом К1, для группы 1 специфичны положительные зависимости, а для группы 2 (в гипогеомагнитной установке) — отрицательные зависимости от факторов солнечной активности в периоды пренатального развития головного мозга (8-й и 9-й месяцы).

С использованием метода «дерево решений» [1] нами показано, что большая часть ГРВ параметров человека оказывается закономерно зависимой от интенсивности электронной компоненты космических лучей и потоков галактических протонов только в условиях предъявления информационно-голографической нагрузки космогонического содержания (фото 1, I).

Выявлено, что интенсивность воздействия гелиогеофизических факторов (геомагнитная индукция, солнечная активность) на 5-9-м месяцах внутриутробного развития организма родителей определяет меру чувствительности испытуемых к информационно-голографическим нагрузкам палеопсихологического содержания (фото 1, II).

По данным светодиагностики (фотосканирования — метода, разработанного в лаборатории клинической физиологии НЦКЭМ СО РАМН [7]), в конце курса преформированных космофизических воздействий нами отмечены значимые ковариационные комбинации, описывающие вероятность раскрытия космобиофизических резервов организма по увеличению поглощения светового потока заданной длины волны в условиях предъявления испытуемым голограммы с информацией об энергоинформационных событиях в установке для коррекции психосоматических заболеваний (вертикальных «зеркала Козырева»), имевших место 19 июня 2001 г. (см. [5]) и отсутствия геомагнитных возмущений в период «прекон-сивинга» (до зачатия организма) испытуемых.

Соотношение уровней светопоглощения и светоотражения значимо зависит от величины V_t -составляющей ГМП, по-разному выраженной в группах 1 и 2 с различным видом преформации ГМП.

Пребывание человека в различных ячейках преформированного пространства (по вектору и выраженности геомагнитного наклонения и степени ослабления ГМП) проявляет кова-

риационную зависимость светопоглощения кожных покровов височной части головы (слева и справа) и других участков тела от широкого спектра космофизических факторов, зарегистрированных в момент обследования.

Преобладающая часть значимых комбинаций фиксируется либо после 30-минутного пребывания человека в преформированном пространстве, либо после предъявления информационно-емкой голограммы. Наиболее часто в числе значимых комбинаций оказываются протонная и нейтронная компоненты космических лучей, скорость «солнечного ветра», температура солнечной плазмы и Vt-составляющая ГМП.

По мере увеличения числа погружений в преформированное гелиогео-физическое пространство проявляется значимо выраженная ковариационная связь с географической широтой места проведения исследований, электронной компонентой космических лучей и Vz-составляющей ГМП.

Представляется важным, что выраженность светопоглощения кожными Покровами находится в значимой ковариационной зависимости от цвета глаз испытуемых, места их рождения, типа строения, в котором проходило внутриутробное развитие и космофизической ситуации в момент проведения исследования. В числе ведущих гелиобиотропных факторов: протонная компонента космических лучей, географическая долгота и различные компоненты ГМП. Подавляющая часть ковариационных зависимостей проявляется только после пребывания в преформированной среде или во время информационно-голографической нагрузки.

Объем памяти, успеваемость, творческая активность испытуемых оказываются в значимой ковариационной зависимости от величины кожного светопоглощения после кратковременной преформации ГМП и структуры космофизического пространства во время информационно-голографического тестирования: фактор «память» — в ковариационной зависимости от скорости «солнечного ветра», температуры солнечной плазмы, протонной и нейтронной компонент космических лучей, выраженности ГМП-составляющих при проведении светодиагностики, а фактор «творчество» — в ковариационных значимых комбинациях с величиной светопоглощения (после преформированной и голографической нагрузок), Vt-составляющей ГМП, температурой солнечной плазмы и потоком протонов очень высоких энергий.

Значимых комбинаций между величинами светопоглощения и гелиогео-физическими факторами пренатального онтогенеза организма испытуемых при первых трех обследованиях не выявлено. Наибольшее число значимых ковариационных связей подобного рода зарегистрировано при 4-м и 5-м обследованиях: в большей части случаев — после пребывания в экспериментальных установках или предъявления информационных голограмм. Все эти связи — с гелиофизической активностью в различные периоды пренатального развития организма испытуемых, а также с индукцией геомагнитного поля при фоновых исследованиях отсутствуют. В других сеансах значимые комбинации вновь не выявлялись.

До предъявления испытуемым информационно-голографической нагрузки на динамику светопоглощения влияла геофизическая ситуация (уровень геомагнитной индукции) в 1-й и 3-й месяцы внутриутробного развития организма отцов.

После предъявления через голограмму палеопсихологических сигналов, сформированных в «пространстве Козырева» (фото 1, I, 6), спектр влияния (на уровень светопоглощения) полевой космофизической среды существенно изменялся.

Выявлено влияние обстановки периода пренатального развития организма отцов, влияние геофизических факторов в 1, 3, 9-й месяц пренатального развития и в день рождения матерей, а также за 1 мес до зачатия организма испытуемых. На увеличение интеллектуальных возможностей и на динамику светопоглощения при предъявлении «kozyrevского палеоинформационного голографического сигнала» оказывает влияние интенсивность протонной и нейтронной компонент космических лучей различных энергий, что подтверждает роль космофизической среды и возможность развития интеллектуальных способностей человека, испытывавшего определенные полевые космофизические воздействия в поколениях ближайших родственников (родителей), с использованием погружений в гипогеомагнитную среду.

После предъявления испытуемым голограммы, содержащей информацию из различных палеопсихологических горизонтов, сформированную в «пространстве Козырева» (19 июня 2001 г.), в группе, проходящей испытания в условиях преформированного геомагнитного накло-

нения, но сохраненной индукции, по мере увеличения количества сеансов определяющими являются показатели гелиогеофизической среды во время пренатального развития организма отцов. При этом вектор и величина геомагнитного наклона имеют значимо определяющее влияние на динамику светопоглощения при палеоинформационной нагрузке.

В условиях ослабленного ГМП проявляется значимая зависимость регистрируемых параметров от пренатальной геофизической обстановки обоих родителей, а также степени радиоизлучения Солнца в период зачатия организма самих испытуемых. В этой группе проявляется зависимость динамики светопоглощения в ответ на палеоинформационную голографическую нагрузку от протонной и электронной компонент космических лучей.

Развитие интеллекта у испытуемых к концу курса кратковременных погружений в гипогеомагнитное пространство оказывается значимо сопряженным с уровнем геомагнитной индукции в 1-ю нед внутриутробного развития организма их отцов.

По данным электроэнцефалографии (ЭЭГ) [4], в условиях дистанционного воздействия информационно-емких голограмм проявляются значимые различия в реакциях по ряду электроэнцефалографических параметров между испытуемыми-носителями коротких и длинных аллелей гена D4. При предъявлении голограммы В6 (шумерские изображения; фото 1, I) отмечаются значимые различия в этих группах по амплитуде тета-ритма (в правом затылочном и центральном отведениях) и частоте дельта-ритма (в центральном отведении ЭЭГ). При тесте с контрольной голограммой значимые различия не проявились по частоте бета-ритма (в левом височном отведении). При воздействии опытной голограммы В6 (галактические объекты, Солнце), в отличие от контрольной, наблюдается целый спектр значимых различий по амплитуде тета-ритма (центральное, левые височное и лобное отведения), по частоте тета-ритма (центральное, левые височное и затылочное отведения), по амплитуде дельта- и бета-ритмов (в правом и левом височных отведениях соответственно).

Таблица 9. Динамика значимо различающихся спектральных параметров ЭЭГ* у испытуемых носителей коротких или длинных аллелей гена D4 в зависимости от вида информационно-голографической нагрузки и этапа преформированных гелиогеофизических воздействий

Дата обследования	Вид нагрузки	Амплитуда				Частота			
		дельта	тета	альфа	бета 1, 2	дельта	тета	альфа	бета 1, 2
12-13.11.02 г.	Контроль без голограммы	–	–	–	–	–	–	–	T3
	Голограмма В6	–	O2, Cz	–	–	Cz	–	–	–
	Голограмма В9	T4	F3, T3, Cz	–	T3	–	T3, O1, Cz	–	–
3-4.12.02 г.	Контрольная голограмма ГК2	–	–	–	–	–	–	–	–
	Голограмма П-2	–	T3	Cz	T4	T3	T3, T4, O2, Cz	–	–
17-18.12.02 г.	Контрольная голограмма № 1	T3	–	T3	–	T3	T4	–	O2
	Голограмма № 3	O2	–	–	T3	O2	–	–	F3
	Голограмма № 4	–	T4	O2	–	–	–	O2	–
	Голограмма № 8	–	–	–	–	–	–	–	–

* Указаны стандартные отведения (F — лобные, T — височные, O — затылочные, Cz — центральное), в которых проявились значимые изменения.

Предъявление голограмм Г1-2 (Всемирная энциклопедия, галерея искусств) (фото 1, III), в отличие от контрольной голограммы проявилось значимыми различиями по амплитуде тета-ритма (в левом височном отведении), альфа-ритма (в центральном отведении), бета-

ритма (в правом височном отведении); по частоте дельта-ритма (в левом височном отведении), тета-ритма (в правом и левом височном, правом лобном и центральном отведениях).

Предъявление испытуемым в один из дней контрольной (№ 1) и информационно-емких голограмм с космогонической информацией сопровождалось характерным для каждой из них перераспределением электрической активности головного мозга (табл. 9), а при предъявлении голограммы № 8 (фигуры на знаковых полях) — исчезновением значимых различий по сравнению с контрольной голограммой.

Таким образом, впервые были показаны специфические изменения электрической активности головного мозга человека в ответ на дистанционное предъявление (через голограммы) информации космогонического и культурно-исторического значения. Банк информационной «палеопамяти», очевидно, формируется и транслируется через поколения на генетической основе, возможно, с участием волнового генома [2].

(продолжение следует)

Л и т е р а т у р а :

1. Бериков В. Б. Методика статистического исследования для анализа психофизиологических резервов организма человека // Вестн. МНИИКА. — 2002. — № 9. — С. 122–132.
2. Гаряев П. П. Волновой геном. Энциклопедия русской мысли: Русское физическое общество. — М.: Общественная польза, 1994. — Т. 5. — 280 с.
3. Горелкин А. Г. Медленные колебательные процессы при геомагнитном экранировании // Вестн. МНИИКА. — 2002. — № 9. — С. 53–61.
4. Девицин Д. В. Динамическая оценка электрической активности головного мозга человека и проблема развития психофизических резервов организма в экранированном пространстве // Вестн. МНИИКА. — 2002. — № 9. — С. 77–82.
5. Казначеев В. П., Трофимов А. В. Космофизическая интеллектуальная голограмма в моделированном «пространстве Козырева». // Физика сознания и жизни, космология и астрофизика. — 2006. — № 3. — С. 4–12.
6. Казначеев В. П., Трофимов А. В. Очерки о природе живого вещества и интеллекта на планете Земля. — Новосибирск: «Наука», 2004. — 312 с.
7. Казначеев С. В., Молчанова Л. В., Томилова Л. М. и др. Функциональная асимметрия полушарий головного мозга человека в условиях взаимодействия с преформированным природным магнитным полем (по данным фотосканера «Луч») // Вестн. МНИИКА. — 2002. — № 9. — С. 69–76.
8. Козырев Н. А. Избранные труды. — Л.: Изд-во Ленингр. ун-та, 1991. — 445 с.
9. Селенок Ю. В. Древние шумеры о Солнечной системе и Земле // Вестн. МИКА. — 1998. — №5. — С. 94–112.

Статья поступила в редакцию 25.10.2005 г.

Kaznatcheyev V. P., Trofimov A. V.

The distance-information interaction in the “Kozirev space”

It is described the psychophysiological in the “Kozirev space” human perception of holograms, which contain information about cosmic objects: galaxies with different characteristics, cultural-historical monuments of different civilizations and epochs. The holograms with the functional-regulation information are also tested. The degree of the modern man paleoinformation sensibility and the measure of the human “paleomemory” disclosure were valued by the following parameters: the time perception dynamics, the heart chroral regime changes, the head brain electric activity, the skin absorption of light, the gas discharge visualization, the effectivity of the human distance-information communications and interaction with “cells civilizations”.

Key words: human paleomemory, “Kozirev space”, human distance-information communications, information signals, psychophysiological testing, head brain semispheres asymmetry, time internal perception.